

干涉法确定晶体压电坐标轴的正向

尹 鑫 邵宗书

(山东大学晶体材料研究所)

在测量晶体的压电系数时，首先要根据文献[1]的规定选定晶体的压电坐标系，同时还要确定实际晶体压电坐标轴的正向，方能测定晶体的压电系数及确定其正负号。为了准确、迅速地确定坐标轴的正向，我们利用晶体的反压电效应，采用干涉法进行了测量。这种方法迅速、准确、直观、且不破坏样品。

一、实验装置和测试原理

干涉法确定晶体压电坐标轴正向的实验装置如图1所示。

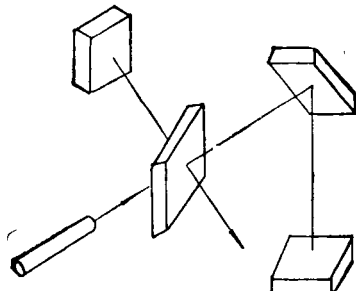


图 1

它的主体部分是一台泰曼干涉仪。将干涉仪分束后的一束光，通过一个 45° 反射镜垂直反射到干涉仪的台面上，在台面上装一样品台，样品台可通过调节微调螺丝在铅直方向上下移动。样品台上的晶体，其应变方向的端面镀上反射膜或放一重量很轻的全反镜，使光束沿原光路反射回去。

当调节微调螺丝使样品台在铅直方向上下移动时，由于干涉仪分束后的两束光的光程差发生变化，宏观看上去，等厚干涉条纹就发生移动。再在晶体的适当方向加一直流电场，由于

反压电效应，晶体发生了应变，同样可以改变两束光的光程差，使干涉条纹移动。

比较用两种方法使干涉条纹移动的方向。例如，等厚干涉条纹竖直分布，假如向上移动样品台，干涉条纹向左移动；再在晶体某一方向上加电场，若干涉条纹也向左移动，则晶体由反压电效应所引起的应变为正应变。

文献[1]规定：

(1) 在 $m, 2mm, 4mm, 4, 3, 3m, 6, 6mm$ 点群的晶体中，一个正的 d_{33} 决定了 Z 轴的正方向。

(2) 在 $3, 32, \bar{6}, \bar{6}m2$ 点群的晶体中，一个正的 d_{11} 决定了 X 轴的正方向。

(3) 在 $3m, \bar{6}$ 点群的晶体中，一个正的 d_{22} 决定了 Y 轴的正方向。

(4) 在 $\bar{4}2m$ 点群的晶体中，一个正的 d_{36} 决定了 X 和 Y 轴之间的区别。

(5) 在 $23, \bar{4}3m$ 点群的晶体中，任选三个结晶轴之一作为 Z 轴后，一个正的 $d_{14} = d_{36}$ 决定了如何选定 X 和 Y 轴。

(6) 在 $\bar{4}$ 点群的晶体中，一个正的 d_{31} 决定了 Z 轴的正方向。

规定(1),(2),(3)中，晶体压电系数 d 的两角标相同，我们简写为 d_{ii} 。根据反压电效应方程^[2]

$$S_i = d_{ii} E_i,$$

式中 S_i 为晶体发生的应变， E_i 为晶体上所加的电场，可以看出这时晶体的应变方向与电场方向相同。按照 d_{ii} 必须为正号的规定，又根据反压电效应方程，则晶体上所加电场方向为正向时，晶体产生正应变，这时晶体上所加电场方向即为 i 轴的正方向。

规定(4)中， $\bar{4}2m$ 点群晶体的压电系数的

矩阵形式为

$$\begin{pmatrix} 0 & 0 & 0 & d_{14} & 0 & 0 \\ 0 & 0 & 0 & 0 & d_{25} & 0 \\ 0 & 0 & 0 & 0 & 0 & d_{36} \end{pmatrix}.$$

如果将坐标轴绕 Z 轴逆时针转 45° 时，则在新坐标系中，压电系数的矩阵形式为

$$\begin{pmatrix} 0 & 0 & 0 & 0 & d'_{15} & 0 \\ 0 & 0 & 0 & -d'_{15} & 0 & 0 \\ d'_{31} & -d'_{31} & 0 & 0 & 0 & 0 \end{pmatrix},$$

其中 $d'_{31} = \frac{1}{2} d_{36}$ 。新坐标系中，晶体的反压电效应方程为

$$S'_i = d'_{31} E_3,$$

可以看出，沿 Z 方向加电场时，晶体的应变方向为 X' 方向，即 $X \rightarrow Y 45^\circ$ 方向。按照规定， $d'_{31} = \frac{1}{2} d_{36}$ 必须为正，又根据反压电效应方程， E_3 为正时，X' 方向的应变为正应变。首先，选定 E_3 方向为 Z 轴正向，正应变方向为 X' 的正向，X 和 Y 轴分别与 X' 成 45° ，再根据右手螺旋法测定出 X 和 Y 轴及其正向。

规定(5)中的 23 和 $\bar{4}3m$ 点群的晶体，可用类似的方法确定 X 轴和 Y 轴。

规定(6)中的 $\bar{4}$ 点群的晶体，不用作坐标变换，用类似的方法就可以定出 Z 轴的正向。

二、实 验

LiO_3 晶体属点群 6，我们在 Z 方向加电

(上接第 260 页)

子系统本身对电子-声子互作用过程的影响等等。在这些问题上开展进一步的理论工作和实验工作无疑是非常必要的。

- [1] E. O. Göbel et al., *Phys. Rev. Lett.*, 51(1983), 1588.
- [2] J. Christen et al., *Appl. Phys. Lett.*, 44(1984), 84.
- [3] 徐仲英、梁基本、许继宗、郑宝真、徐俊英、李玉璋、曾一平、葛惟焜，半导体学报，8(1987)，342。
- [4] Y. Arakawa et al., *Appl. Phys. Lett.*, 46(1985), 519.
- [5] J. Christen, D. Bimberg, *Surface Science*, 174(1986),

场，利用 Z 方向发生的应变确定了 Z 轴的正向。

用相同的方法确定了 $\text{Pb}(\text{TiZr})\text{O}_3$ 陶瓷极轴方向的正向。

LiNbO_3 晶体属 $3m$ 点群，我们在 Y 方向加电场，利用 Y 方向发生的应变确定了 Y 轴的正向。

ADP ， KDP 晶体属 $\bar{4}2m$ 点群，我们在 Z 方向加电场，利用 $X \rightarrow Y 45^\circ$ 方向发生的应变，区别了晶体 X 轴和 Y 轴，并确定了其正向。

三、讨 论

对于压电系数较小的晶体，要用上述方法直接确定其坐标轴的正向可能有困难，但是可以仿照文献[3]中的实验装置，在光路中置一电光晶体 DKDP，用电光晶体的电光效应所引起的光程变化，补偿压电晶体的反压电效应所引起的光程变化，确定压电系数较小的晶体的坐标轴的正向。我们用以上压电晶体样品，在晶体上加较低的电压(几十伏到几百伏)，确定过压电晶体坐标轴的正向，其结果与直接确定的结果相同。

- [1] *Proc. IRE*, 37 (1949), 1378.
- [2] 蒋民华，晶体物理，山东科学技术出版社，(1980) 144.
- [3] 尹鑫、邵宗书，人工晶体，15-3(1986), 215.

261.

- [6] P. Dawson et al., *Superlattices and Microstructures*, 1(1985), 173.
- [7] J. E. Fouquet et al., *Appl. Phys. Lett.*, 46(1985), 374.
- [8] Z. Y. Xu and C. L. Tang, *Appl. Phys. Lett.*, 44 (1984), 692.
- [9] 徐仲英、李玉璋、徐俊英、许继宗、郑宝真、庄蔚华、葛惟焜，物理学报，36-10(1987)，1330。
- [10] J. F. Ryan et al., *Phys. Rev. Lett.*, 53(1984), 1841.
- [11] J. Shah et al., *Physica B*, 134 (1985), 174.